

ELIMINÁCIA VZNIKU TRHLÍN BETÓNU Z DÔVODU PLASTICKÉHO ZMRAŠŤOVANIA ■ ELIMINATION OF CONCRETE CRACKING Owing to PLASTIC SHRINKAGE

Peter Briatka

Plasticke zmrašťovanie je jedna z foriem všeobecne akceptovaných objemových zmien betónu. Ak je objemovým zmenám bránené, generujú v materiale napäťia. Ak tieto napäťia prekročia aktuálnu pevnosť materiálu vzniká trhlina. V závislosti od účelu použitia betónovej konštrukcie a šírky samotnej trhliny sa vzniknutý stav klasifikuje ako vada alebo až porucha (ak je trhlina zhoršená jedna z funkčných vlastností). I keď trhlina neznižuje priamo úžitkovú hodnotu konštrukcie, u trhlín spôsobených plastickým zmrašťovaním sa ich existencia zásadne podpisuje na životnosti betónovej konštrukcie, čo vyplýva zo samotného mechanizmu vzniku týchto trhlín. Existujú viaceré prístupy ako obmedziť prejavu plastickeho zmrašťovania alebo plasticke zmrašťovanie ako také. Azda jedným z najbežnejších a v súčasnosti zaznamenávajúcich veľký rozmach je vystužovanie betónu jemnými polymérmi vláknami. Ako každá technológia aj táto si vyžaduje dôkladné zvládnutie teórie a jej rozvážne aplikovanie v praktických riešeniach. Praktickej aplikácii polymérnej rozptýlenej výstuže v betóne sa venuje aj táto práca. Pomocou laboratórnych pokusov sa hodnotí účinnosť jednotlivých typov vláken samozrejme v súvislosti so stupňom takéhto vystuženia charakterizovaného dávkou vláken. ■ The plastic shrinkage is one of the means of commonly accepted volume changes of concrete. If the volume changes are being restricted this state generates stresses in material. If these stresses exceed actual strength of the material a crack is being formed. In dependence on purpose of a concrete structure and width of crack itself, arose state is being classified as a fault or damage (if at least one of the performances is being deteriorated because of a crack). Even though the crack doesn't directly decrease utility value of the structure, in cracks caused by plastic shrinkage, their presence does substantially affect the durability of the concrete structure what results from the mechanism of their generation. There exist various approaches how to reduce either visible signs of plastic shrinkage or plastic shrinkage as such. May be, one of the most common, and nowadays recording big growth, is reinforcing of concrete with fine polymer fibers. As every technology even this one requires thorough encompassment of the theory and its delicate application in practical solutions. Even this work is devoted to practical application of spread polymer reinforcement. Through the laboratory tests the effectiveness of individual fiber types is being evaluated, of course, with relation to degree of reinforcement defined by fiber dosage per volume unit.

PLASTICKÉ ZMRAŠŤOVANIE NA TEORETICKEJ ÚROVNI

Plasticke zmrašťovanie je jednou z objemových zmien čerstvého betónu. Zo samotného názvu je zrejmé, že plasticke zmrašťovanie vzniká a prejavuje sa v čase, keď je betón v plasticke (tekutom) stave, čiže pred začiatkom tuhnutia. V tomto období ešte nie sú vytvorené väzby medzi hydratujúcimi zrnkami cementu resp. pevné väzby medzi spojivom a plnívom.

Objemové zmeny vznikajúce v čase do začiatku tuhnutia (v tekutom stave) cementového tmelu sa nemôžu prejať v horizontálnom smere lebo, ako už bolo uvedené, ešte neexistujú väzby medzi hydratujúcimi zrnkami cementu. Tým, že systém v tomto štadiu kolabuje, vznikajú objemové zmeny, ktorých prejavom je konsolidácia cementového tmelu. Zrná, zatiaľ bez väzieb, podliehajú pôsobeniu gravitácie ako samostatné častice, a preto sa výsledná objemo-

vá zmena v plastickom stave tmelu vyznačuje len vertikálnou zložkou zmeny rozmeru pôvodného telesa. Chemické a autogénne zmrašťovanie až do začiatku tuhnutia je jednou z hnacích sôl tzv. plastickeho zmrašťovania.

Druhým mechanizmom plastickeho zmrašťovania je strata vody z betónu do okolitého prostredia (odparovanie). Bez určenia konkrétnych podmienok (zloženia betónu a okolitého prostredia) nie je možné jednoznačne určiť, ktorý z mechanizmov má na plasticke zmrašťovanie majoritný účinok. Ak sa však zaoberáme betónom v bežnej stavebnej praxi (nedokonalé alebo žiadne ošetrovanie), môžeme tvrdiť, že rozhodujúca zložka bude vyvolaná práve transportom vlhkosti z prostredia s vyššou relatívnu vlhkosťou (betón) do prostredia s nižšou relatívnu vlhkosťou (okolité prostredie). Uvedená strata vlhkosti je ovplyvnená tromi činiteľmi:

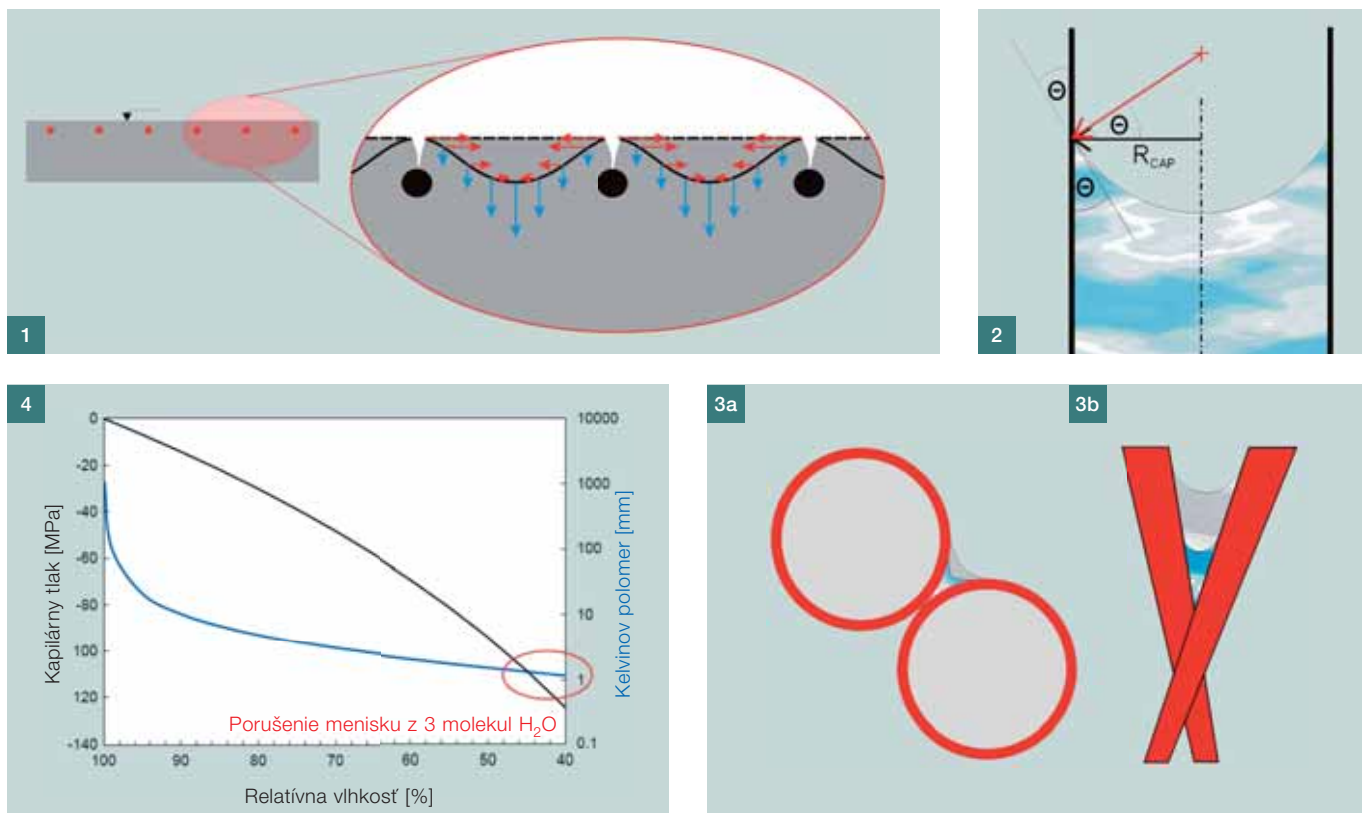
- samotným rozdielom tlakov vodných párov v betóne a v okolitej prostredí,
- teplotou betónu (funkcia teploty okolitého prostredia a intenzity slnečného žiarenia),
- rýchlosťou prúdenia vzduchu (znižuje relatívnu vlhkosť vzduchu nad povrchom betónu).

Prejavom plastickeho zmrašťovania je sadanie cementového tmelu (konsolidácia vplyvom straty vody) resp. betónu. Vonkajšie, voľným okom badateľné, prejavu plastickeho zmrašťovania vo forme trhlín sa pôsobením rozdielneho sadania vyskytujú v oblastiach s menším sadaním. Typickým príkladom takejto oblasti sadania je betón nad vloženou betonárskou výstužou (obr. 1). Cementový tmel nad vloženou výstužou disponuje nižším potenciálom k sadaniu, lebo ho vo vertikálnej konsolidácii obmedzuje výstužný prvak. Vplyvom väčšieho absolútneho sadania okolitého tmelu sa vo formujúcich štruktúrach generujú horizontálne a šmykové napäťia vyúsťujúce do vzniku trhliny v cementovom tmele nad výstužným prvkom.

Ako už bolo povedané, za konsolidáciou cementového tmelu stojí hlavne odparovanie vody z povrchu betónu. Týmto sa kapilárne póry cementového tmelu (pôvodne saturované póravým roztokom) vyprázdnjujú – hladina roztoru v nich klesá. S vyprázdnovaním kapilárnych pórov súvisí vznik ľahových sôl, ktoré vyvolávajú kolaps a konsolidáciu systému. S postupujúcim hydratáciou rastie odpor cementového tmelu (systém ďalej nekolabuje) voči ľahovým kapilárny silám a vznikajú ľahové napäťia. Vyvolané ľahové napäťia P_{CAP} popisuje vzťah 1 (rovinka podľa Young-Laplace), ktorý popisuje ich priamu závislosť od povrchového napäťia póravého roztoru γ [N/m], stykového uhla póravého roztoru a steny kapiláry θ (uvažuje sa $\theta = 0$ rad; dokonalé zmáčkanie) a nepriamu závislosť od polomeru kapilárneho póru r_{CAP} [m].

$$P_{CAP} = -\frac{2 \gamma \cos \theta}{r_{CAP}} \quad [\text{Pa}] \quad (1)$$

Ak vezmeme do úvahy, že ako prvý sa vyprázdnjujú väčšie póry (nižšia energia potrebná na uvoľnenie vody) a že póry sa smerom do vnútra kompozitu (i v kompozite, obr. 3) zužujú, potom zohľadnenie oboch faktov vedie k záveru, že s pokračujúcim odparovaním vody sa v kapilárah generu-



Obr. 1 Napäcia vznikajúce od nerovnomernej konsolidácie cementového tmelu ■ Fig. 1 Stresses developing due to non-uniform consolidation of cement paste

Obr. 2 Schéma menisku v kapiláre cementového tmelu ■ Fig. 2 Sketch of meniscus in capillary of cement paste

Obr. 3 Vyprázdňovanie pôrov v začiatkoch tvoriacej sa pevnej štruktúry (A – cementové zrná; B – väzby hydratačných produktov) ■ Fig. 3 Emptying of pores during early state of formed solid structure (A – cement particles; B – hydration products' ties)

jú čoraz väčšie ľahové napäcia (obr. 4) podľa vzťahu 1 resp. 2, kde RH je relatívna vlhkosť cementového tmelu [%], $V_{mol,f}$ je molový objem pôrového roztoku ($V_{mol,f} \approx 18 \cdot 10^{-6} \text{ m}^3/\text{mol}$), R je univerzálna plynová konštantá ($R = 8,3114 \text{ J/mol/K}$) a T je absolútna teplota [K].

$$r_{CAP} = -2 \gamma \cos \theta \frac{V_{mol,f}}{R T \ln(RH)} \quad [m] \quad (2)$$

$$P_{CAP} = -\frac{2 \gamma \cos \theta}{r_{CAP}} = \frac{R T \ln(RH)}{V_{mol,f}} \quad [\text{Pa}] \quad (3)$$

Ľahové napäcia, vo všeobecnosti, spôsobujú vznik trhlín, keďže pevnosť betónu v ľahu je veľmi nízka a materiál nie je schopný im odolávať. Ako to prezentuje obr. 4, už pri poklese relatívnej vlhkosti cementového tmelu na 95 % vznikajú,

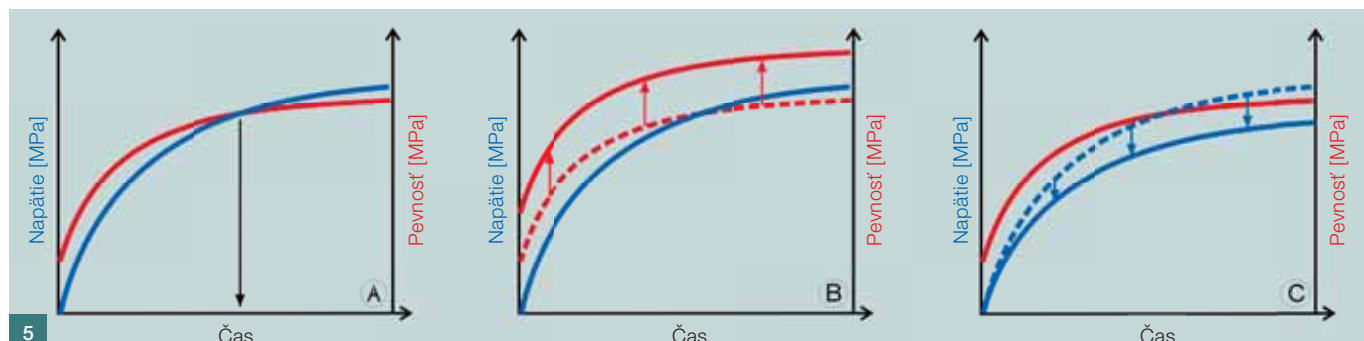
Obr. 4 Vzťah medzi relatívnu vlhkosťou – kapilárnym tlakom a polomerom pôrov [4] ■ Fig. 4 Relation between relative humidity – capillary pressure and pores radius [4]

Obr. 5 Schematické vyjadrenie vzniku trhlín (A – vznik trhlín; B – zvýšenie pevnosti; C – zníženie napäcia) ■ Fig. 5 Scheme of crack formation and development (A – crack formation; B – strength increasing; C – stress decreasing)

podľa vzťahu 3, na rozhraní pôrového roztoku a cementového gélu ľahové napäcia o veľkosti približne 10 MPa.

Ak sa na problematiku vzniku trhlín pozoráme komplexne – existujú dve principiálne možnosti ako zabrániť ich vzniku (obr. 5). Prvým je zvýšenie pevnosti materiálu (napr. použitie syntetickej rozptylénej výstuže) a druhým je zníženie napäcia v materiálu (napr. zvýšenie dotvarovania alebo dokonalé ošetrovanie betónu).

V praxi sa stretávame s neuvedomenou kombináciou oboch princípov. To znamená k ošetrovaniu betónu (ak nejaké vôleb je) pribúda modifikácia betónu ešte pred jeho ukladaním a to vo forme prídavku rozptylénej výstuže – v lepšom prípade jemnej výstuže na báze PE alebo PP, ktorá je určená predovšetkým k obmedzeniu prejavov plastického zmrašťovania. Použitie týchto vláken na daný účel sa



preukázalo ako vhodné, i keď, tak ako každá dostatočne nepochopená technológia, aj tátia sa potýka s problémami a zavádzajúcimi informáciami, ktorých osvojenie môže viesť ku nedosiahnutiu požadovaného účinku alebo naopak zbytočnému predimenzovaniu (predraženiu) konštrukcie.

Polymérkové vlákna (monofilamentné a fibrilované) sú dostačne jemné (majú veľký štíhlosný pomer a vysoký špecifický povrch) a disponujú vysokou pevnosťou v ľahu. To ich predurčuje na obmedzenie prejavov ťahových napäť vznikajúcich v počiatocných hodinách veku betónu tým, že svojou jemnosťou a hustotou výskytu v betóne dokážu v tuhnúcom kompozite preniesť generované napäť a udržať kompozit v celku bez diskontinuit materiálu. V nasledovnej práci bola overovaná účinnosť rôznych typov polymérkových vláken v rôznych dĺžkových variáciach a pomeroch dávkovania.

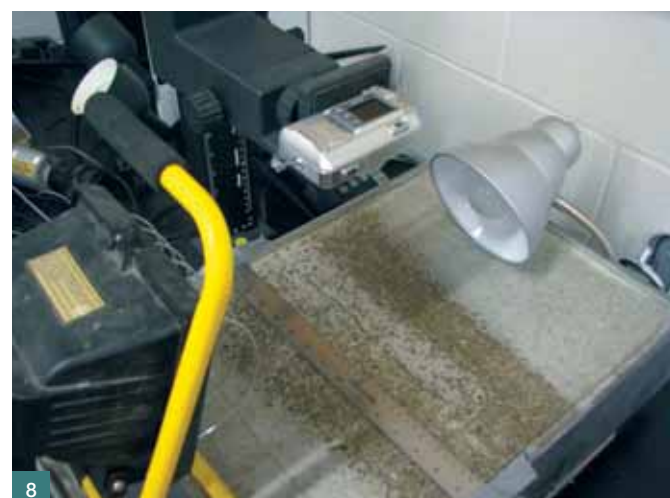
SKÚMANÉ VLÁKNA, POUŽITÉ MATERIÁLY

A RECEPČTÚRY

Vplyv polymérkových vláken na obmedzenie vzniku trhlín z titulu plastického zmrašťovania bol posudzovaný na celkom šiestich sadách vzoriek (v každej tri skúšobné telesá) vyrobených s použitím PP vláken a to vzhľadom na referenčný betón (PLAIN). Jednotlivé zmesi vzoriek boli vyrobené podľa receptúry uvedenej v tab. 1. Označenie M alebo F znamená „Monofilamentné“ alebo „Fibrilované“. V značení vláken sa vyskytuje ich dĺžka [mm] a dávka [kg/m³].

Tab. 1 Použité receptúry ■ Tab. 1 Used mixture proportions

Zmes	WC	Cement	Voda	Jemné k. [kg/m ³]	Hrubé k.	Vlákna
Plain				0,0000		
M12,7-0,445				0,4450		
M12,7-0,593				0,5933		
M19,1-0,297	0,55	461,12	253,61	780,00	780,00	0,2966
M19,1-0,890						0,8899
M25,4-0,593						0,5933
M25,4-0,590						0,8899



Do betónu bol použitý bežný Portlandský cement (PC) Typ I (v súlade s ASTM C150) so špecifickým povrhom 370 m²/kg a zložením 50 % C₃S; 16 % C₂S; 12 % C₃A; 7 % C₄AF a 0,68 % Na₂O. Cement bol pred použitím odvážený a skladovaný v plastových kontajneroch pri teplote 22 ± 1 °C.

Vodný súčinie bol zvolený na hodnotu 0,55. Vysoká dávka vody mala zabezpečiť štandardizovaný priebeh straty vlhkosti odparovaním, pokryť potrebu vody na hydratáciu cementu a zároveň aj zamedziť autogénnemu zmrašťovaniu betónu.

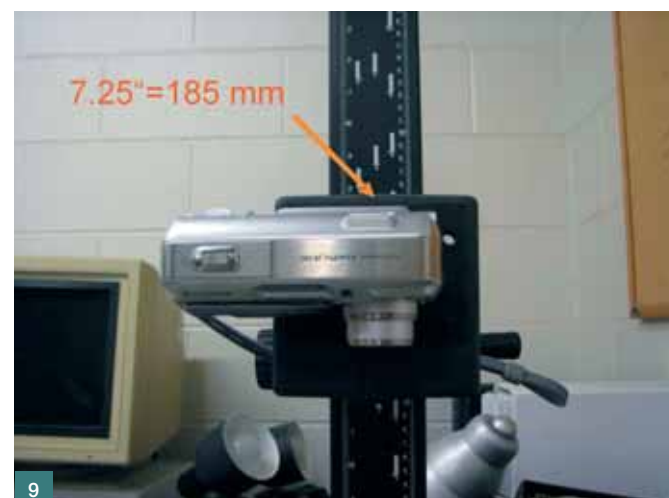
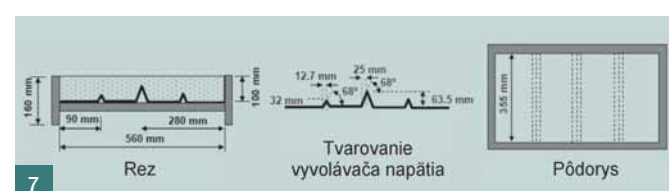
Použité bolo hrubé ťažené kamenivo (frakcia 4/8) a piesok s jemnosťou 3,13. Obe zložky plniva boli dávkované v pomere 30 % z objemu výslednej zámesi a celkovo ich objem predstavoval 60 % objemu ČB. Kamenivo bolo pred použitím vysušené pri teplote 143,34 °C po dobu 24 ± 1 h, následne bolo vychladené na teplotu 22 ± 3 °C, odvážené a až do použitia skladované v plastových kontajneroch.

MIEŠANIE

Miešanie ako významný činiteľ ovplyvňujúci výsledné vlastnosti betónu a obzvlášť vláknobetónu je často podceňované, čo môže viesť ku chybám merania spôsobených napríklad nevhodným množstvom vzduchu v betóne či neželanou aktiváciou hydratácie cementových zŕn (v prípade vysokých otáčok). Nakolko sa jedná o veľmi citlivé merania, miešanie bolo striktne dodržované presne tak, ako je uvedené.

Tab. 2 CRR, priemerná šírka trhlín a pravdepodobnosť výskytu trhlín so šírkou do 0,25 mm ■ Tab. 2 CRR, average crack width and probability of occurrence of cracks maximum 0,25 mm in width

Zmes	CRR [%]	Vlákna [kg/m ³]	Šírka trhlín [mm]		Pravdep. tlín šírky 0–0,25 mm [%]
			priemer.	max.	
Plain	0,00	0,0000	0,5958	2,9996	25,56
M12,7-0,445	90,70	0,4450	0,0554	0,8332	92,06
M12,7-0,593	93,38	0,5933	0,0394	0,8332	92,40
M19,1-0,297	64,20	0,2966	0,2133	1,9164	57,86
M19,1-0,890	90,46	0,8899	0,0568	0,8332	89,98
M25,4-0,593	44,66	0,5933	0,3297	2,7496	42,14
M25,4-0,590	63,86	0,8899	0,2153	1,3331	87,34



Ako prvé bolo do horizontálnej miešačky s nútenským obehom nadávkované celé množstvo hrubého kameniva. Po začatí miešania sa v rýchлом sledu (bez prestávok) nadávkovala 1/3 zámesovej vody, celá dávka jemného kameniva, druhá tretina vody, cement, zvyšná dávka vody a PP vlákna. Zmes sa nechala 3 min miešať, po čom nasledovala dvojminútová prestávka v miešaní a opäťovné miešanie po dobu 3 min.

PRÍPRAVA VZORIEK

Po ukončení miešania bola zmes ručne ukladaná do troch pripravených foriem (obr. 6) opatrených odformovacím olejom. Po ich naplnení bol povrch betónu zrezaný oceľovou tyčou s (obdĺžnikovým prierezom) a upravený hladením.

POSTUP SKÚŠKY A OKRAJOVÉ PODMIENKY

Po 25 min od pridania vody do zmesi boli všetky tri skúšobné telesá umiestnené do klimatizačnej komory, kde boli vystavené nasledovnému prostrediu: teplota 36 ± 3 °C, relativná vlhkosť 30 ± 10 % a vzduchu prúdiacemu rýchlosťou 24 ± 2 km/h tesne nad povrchom telies. U každého telesa bola v minútových intervaloch zaznamenaná zmena hmotnosti (odparovanie vody) s presnosťou na 20 g vzhľadom na referenčnú nádobu s voľnou vodnou hladinou. Po 6 h boli odstavené ventilátory a zvyšných 18 h neboli telesá vystavené významnému prúdeniu vzduchu. Skúška bola ukončená po 24 ± 2 h, kedy boli vyhotovené digitálne snímky povrchu každého telesa (obr. 8 a 9) mapujúce oblasť nad „vyvolávacím napätiom“.

Snímky povrchu telies boli následne skompilované a zbaňené nezaujímavých oblastí (bez trhlín). Tako upravené snímky predstavovali akési vstupné dátá pre analýzu pomocou software „ImagePro“ (obr. 10). Preň existuje makro, ktoré zo vstupných dát odseparuje len „absolútne čierne“ oblasti (trhliny). Napriek celou kompozitnou snímkou trhlí-

ny sa následne preloží raster cca 300 čiar širokých 1 pixel a pomocou spomínaného makra sa zistí šírka trhlín (v pixeloch) v každej linii rastra. Takáto analýza (cca 300 meraní) poskytuje štatistický podložené informácie o šírkach trhlín v určitom rastri a ich variabilite [5].

Výsledkom analýzy šírky trhlín je distribučná funkcia pravdepodobnosti výskytu trhlín s určitou šírkou (násobok 1 pixelu) a kumulatívna funkcia pravdepodobnosti toho istého javu, ako aj koeficient redukcie vzniku trhlín (Crack Reducing Ratio) vypočítaný podľa vzťahu (4) [2], kde $w_{MOD,C}$ je priemerná šírka trhlín v betóne s upraveným zložením a $w_{REF,C}$ je priemerná šírka trhlín v referenčnom betóne.

$$CRR = \left(1 - \frac{\bar{w}_{MOD,C}}{\bar{w}_{REF,C}} \right) 100 \quad [\%] \quad (4)$$

VÝSLEDKY

Pri zisťovaní vplyvu jemných PP vláken na elimináciu plastickej zmrášťovania pomocou metódy podľa ASTM C 1579 sme získali súbor výsledkov, ktorý je stručne prezentovaný v tab. 2 a obrázkoch 11 až 15.

Tab. 2 pomocou „CRR“ jasne dokazuje, že ako najúčinnejšie (na obmedzenie prejavov plastického zmrášťovania) sú kratšie vlákna – napríklad M12,7 pri dávke 0,445 kg/m³ sú rovnako účinné ako vlákna M19,1 pri dvojnásobnej dávke. Z tabuľky je podľa CRR zrejmá aj nižšia účinnosť fibrilovanych vláken súvisiaca do určitej miery aj s ich menším špecifickým povrchom i tendenciou zhlukovať sa, a tým nedosiagnut' rovnomenrnú dispergáciu.

Druhým veľmi dôležitým parametrom je pravdepodobnosť výskytu trhlín šírky do 0,25 mm, čo sa vo všeobecnosti považuje za krajnú šírku trhlín, kedy sa stráca možnosť ich uzavretia vlastnou hydratáciou doposiaľ nehydratovaných zrín cementu (hrubšie mleté cementy). Nie je prekvapivé, že údaj výrazne koreluje s CRR (obr. 11), no je dôležité si všim-



Obr. 6 Forma na výrobu skúšobných telies ■ Fig. 6 Form for test specimen making

Obr. 7 Tvar formy pre skúšky plastického zmrášťovania podľa ASTM C 1579-06 ■ Fig. 7 Form design used for plastic shrinkage tests according to ASTM C 1579-06

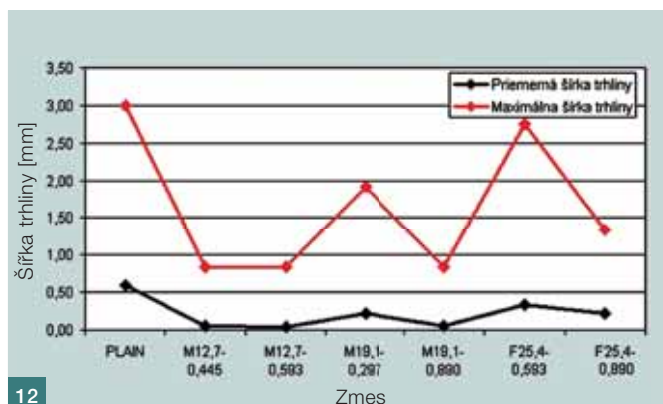
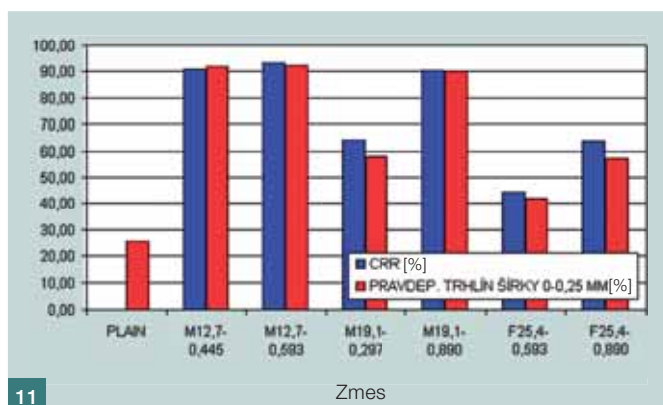
Obr. 8 Digitálne snímanie povrchu vzorky ■ Fig. 8 Digital scanning of specimen's surface

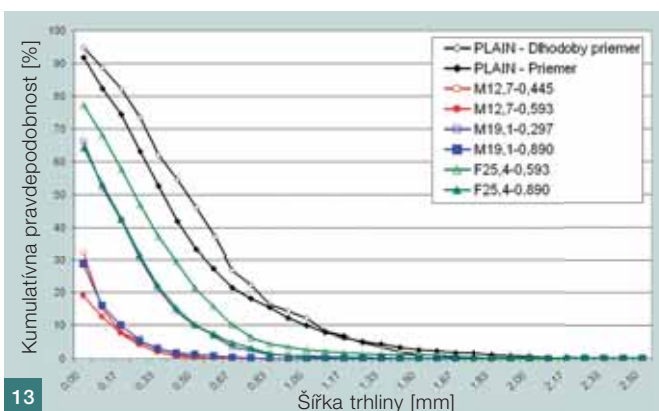
Obr. 9 Konštantná výška snímkovania ■ Fig. 9 Constant height of scanning

Obr. 10 Metodické kroky analýzy trhliny plastického zmrášťovania ■ Fig. 10 Methodical operations which the analysis of plastic shrinkage crack consists of

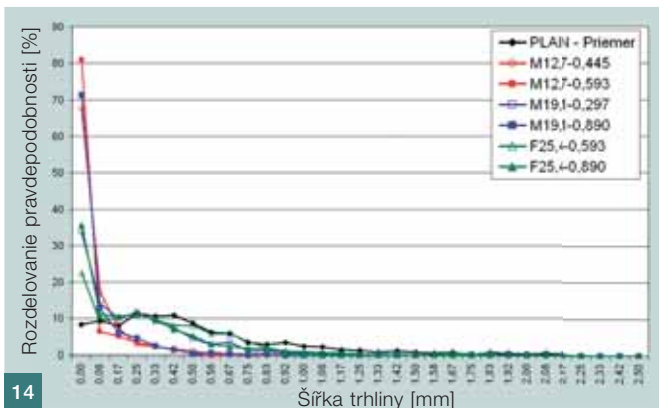
Obr. 11 CRR a podiel trhlín šírky 0 až 0,25 mm ■ Fig. 11 CRR and portion of cracks of 0 až 0,25 mm in widths

Obr. 12 Priemerné a maximálne šírky trhlín ■ Fig. 12 Average and maximum crack widths

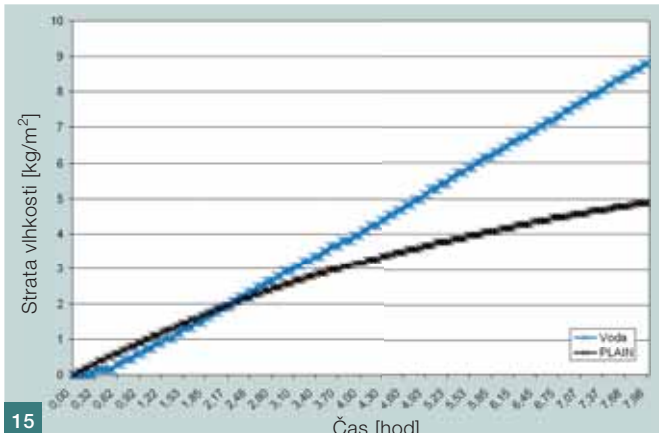




Obr. 13 Kumulatívna funkcia pravdepodobnosti vzniku trhliny na analyzovanom úseku ■ Fig. 13 Cumulative probability function of crack formation in analysed section



Obr. 14 Funkcia pravdepodobnosti vzniku trhliny určitej šírky na analyzovanom úseku ■ Fig. 14 Probability function of crack of certain width formation in analysed section



Obr. 15 Priebeh straty vody (odparovanie)
■ Fig. 15 Curve of water loss (evaporation)

Literatúra:

- [1] Briatka P., Ševčík P.: Hodnotenie vplyvu rozptýlenej výstuže na vlastnosti betónu, Beton TKS 2/2009, Praha, 2009, str. 28–35
- [2] ASTM C 1579-06 Standard test method for evaluating plastic shrinkage cracking of restrained fiber reinforced concrete (Using a steel form insert)
- [3] ASTM C 192-06 Standard practise for making and curing concrete test specimens in the laboratory
- [4] Lura P.: Shrinkage Mechanisms, Workshop Reducing Early-Age Cracking in Concrete Today, held at Purdue University, West Lafayette, 2008
- [5] Qi C., Weiss W. J. and Olek J.: The Statistical Significance of the Restrained Slab Test to Quantify Plastic Shrinkage Cracking in Fiber Reinforced Concrete, ASTM Int. J. 2 (7), 2005
- [6] Uno P. J.: Plastic shrinkage cracking and evaporation formulas, Technical paper, ACI Materials Journal, July-August, ACI, USA, 1998, pp. 365–375
- [7] Almusallam A. A.: Effect of environmental conditions on the properties of fresh and hardened concrete, Cement & Concrete Composites, 23, USA, 2001, pp. 353–361
- [8] Wylie K.: Cold-Weather Concreting, NRMCAA meeting in Albuquerque, USA, November 7, 2007

núť vysoké hodnoty, ktoré boli dosiahnuté pri dávkach krátkych „M“ vlákien na hranici 2/3 štandardne výrobcom odporúčanej dávky.

Obr. 12 (v nadväznosti na obr. 11) dokumentuje súvislosť účinnosti vlákien (CRR) a maximálnej šírky trhliny. So zvyšujúcou sa účinnosťou vlákien sa prudko znižuje maximálna šírka trhliny, a tým sa prudko znižuje i pravdepodobnosť výskytu trhlín v určitom intervale šírky.

Z obr. 13 je možné vyčítať v akom percentuálnom pomeri sa vyskytli pri skúškach trhliny napr. užie ako 1 mm, čo môže byť zaujímavý údaj pri návrhu receptúry betónu tak, aby bola dosiahnutá potrebná životnosť konštrukcie. Všetky vzorky sa správali podľa očakávaní, čo je však zaujímavé, prejav účinku vlákien badateľný pri 5% kvantile je veľmi výrazný. V tomto prípade je medzi vzorkou PLAIN a M12,7 rozdiel v šírke trhliny cca 1 mm. Z obrázka je zrejmá aj malá účinnosť fibrilovaných vlákien, keďže pre dosiahnutie rovnakého rozloženia pravdepodobnosti vzniku trhliny, ako mala vzorka M19,1-0,297, je potrebné použiť zhruba trojnásobnú dávku fibrilovaných vlákien.

V obr. 14 sú zobrazené pravdepodobnosti výskytu trhlín jednotlivých šírok. Všetky vzorky (okrem referenčnej „PLAIN“) vykazujú pri začiatku súradnicovej sústavy strmé sklony, čo len dokumentuje účinnosť vlákien v tom zmysle, že v betóne nevznikajú nijaké trhliny, alebo ak vznikajú, tak sú takmer nepozorovateľné.

Obr. 15 zachytáva priebeh odparovania vody z referenčnej betónovej vzorky (PLAIN) a porovnávacej vzorky. Ako porovnávacia vzorka slúžila obdĺžniková nádoba s voľnou vodnou hladinou, tvaru a rozmerov podobných ako malí skúšobné telesá. Mierny rozdiel v ploche vystavenej odparovaniu bol odstránený jednoduchým prepočtom odparovania vody na jednotku plochy. V obr. 15 nie sú zobrazené krvky straty vody u zmesí s vláknami, no tieto nemajú vplyv na rýchlosť odparovania a môžeme teda predpokladať ich chovanie veľmi podobné so vzorkou „PLAIN“. Ďalej môžeme pozorovať čakávané lineárne odparovanie vody z porovnávacej vzorky a nelineárne (predpokladané) odparovanie vody zo vzorky „PLAIN“. Do doby cca. 180 min vidíme vyššie tempo odparovania vody z betónovej vzorky „PLAIN“. Tento

fakt možno pripísať vysokej hydratačnej aktivite cementového tmelu (exotermický proces), čím k rýchlejšiemu odparovaniu prispievala aj vyššia teplota vzorky. Neskôr, po odparení tzv. „vypotenej vody“ sa oblasť odparovania presúva do štruktúry cementového tmelu a výrazne sa znižuje tempo straty vlhkosti.

Absolútne tempo odparovania vody $1 \text{ kg}/(\text{m}^2\text{h})$ však nekorešponduje s očakávanými hodnotami ($2,05 \text{ kg}/(\text{m}^2\text{h})$) stanovenými približným výpočtom na základe okrajových podmienok skúšky. Strate vlhkostí a jej matematickému vyjadreniu by sa mala venovať pozornosť v nasledovnej práci týkajúcej sa ošetrovania betónu a eliminácie objemových zmien (vrátane plastického zmrašťovania).

ZÁVER

Z výsledkov skúšok vyplýva jednoznačná účinnosť vlákien v obmedzení vzniku trhlín v betóne počas plastického zmrašťovania. Predpoklady majoritného vplyvu dávky a jemnosti vlákien na efektívnosť ich pôsobenia sa potvrdili. Presnejšie určenie závislostí si však vyžaduje pokračovanie vo výskume. Z doterajších zistení vyplýva, že (výrobcom polymérových vlákien) štandardne odporúčaná minimálna dávka $0,9 \text{ kg}/\text{m}^3$ je hodnota, ktorá bezpečne postačuje na zamedzenie vzniku trhlín z dôvodu plastického zmrašťovania.

Dokonca sa dá predpokladať, že dostatočná dávka polymérových vlákien pre bežnú letnú betonáž konštrukcií zo štandardných betónov sa môže pohybovať v intervale $0,6$ až $0,7 \text{ kg}/\text{m}^3$. Odhadovaný interval, pre zatiaľ, nie je laboratórne overený. Odvodený je na základe účinnosti monofilamentných vlákien dĺžky 12,7 mm (tab. 2) a zohľadnenia veľmi nepriaznivých okrajových podmienok skúšky ($36 \pm 3^\circ\text{C}$, relatívna vlhkosť $30 \pm 10\%$ a rýchlosť vetra $24 \pm 2 \text{ km/h}$), ktoré sa v našich podmienkach vyskytujú, ale v menších ročných početnostiach.

Počas skúšky sa zistili výrazné odchylinky v tempe straty vody z betónu medzi skutočne nameranými a predpokladanými hodnotami (cca 100%). Vyparovanie vody je elementárnou hncou silou zmrašťovania v plastickom a neskôr i zatvrdnutom stave betónu. Na túto prácu bude nadväzovať práca so zameraním sa na stratu vody z betónu a metódou jeho ošetrovania.

Ing. Peter Briatka
Technický a skúšobný ústav stavebný
Studená 3, 821 04 Bratislava
Slovenská republika
e-mail: briatka.p@gmail.com





XYPEX®

TĚSNĚNÍ BETONU
POMOCÍ KRYSTALIZACE



NEKAP®
S.R.O.
VÝHRADNÍ PRODEJCE MATERIÁLU XYPEX

Thákurova 7, 160 00 Praha 6
tel.: +420 224 316 107
fax: +420 224 313 212
info@nekap.com

www.nekap.com



FREEZTEQ®

ODSTRAŇOVÁNÍ VLHKOSTI
VE ZDIVU

BETOSAN®

alternativa, kterou oceníte

ADHÉZNÍ MŮSTKY A PEČETÍCÍ VRSTVA
na bázi epoxidových pryskyřic
pro práci za normálních teplot – **BETOLIT EP 0-1 DC**
pro práci za teplot pod bodem mrazu –
BETOLIT EP 0-1 DC FR
aplikace na vlhké podklady – **BETOLIT EP 0-1 DC W**

INJEKTÁZNÍ KOMPOZICE
dvousložkové na na EP bázi – **BETOLIT EP 0-1**

ZPEVNĚNÍ POVRCHU, PENETRACE
dvousložkové na na EP bázi – **BETOLIT KP**
na vlhké podklady – **BETOLIT KP W**

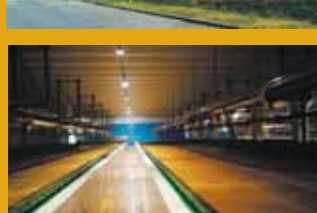
POJIVA PRO POLYMERBETONY
na EPbázi
pro práci za normálních teplot – **BETOLIT EP 0-1 DC**
pro práci za teplot pod bodem mrazu –
BETOLIT EP 0-1 DC FR
aplikace na vlhké podklady – **BETOLIT EP 0-1 DC W**



DRŽITEL CERTIFIKÁTU ČSN EN ISO 9001 A 14001



CERTIFIKOVANÉ
MATERIÁLY
NA BÁZI
SYNTETICKÝCH
PRYSKYŘIC



PLNIVA PRO POLYMERBETONY
žárové barvené křemenné plnivo – QUARZCOLOR
optimalizovaná granulometri – BETOFIL FJ, FH, FH DSH

CHEMICKY ODOLNÉ PRUŽNÉ
TMELENÍ PODLAHOVÝCH SPÁR
na bázi epoxidových pryskyřic – BETOLIT EP 0-1 DC flex

OCHRANA PROTI AGRESIVNÍM
LÁTKÁM A CHEMICKÝM VLIVŮM
mechanicky odolné PU báze – BETOLIT PU 0-1
emulzní systém na vlhký podklad EP báze – EPOLIT W

OBCHODNĚ-TECHNICKÁ KANCELÁŘ
Na Dolinách 23
147 00 Praha 4
mobil: 602 121 617
tel./fax: 241 431 212
e-mail: praha@betosan.cz